

列宁格勒大学学报

No 249

地质系和物理系
地质学和物理学部分
第 10 期

地球物理問題

A.П. 克拉耶夫等著
张昌达 董国柱等譯

中国工业出版社

地玉求物理问题

地玉求物理问题

地玉求物理问题

地玉求物理问题

地玉求物理问题

地玉求物理问题

地玉求物理问题

列宁格勒大学学报

No 249

地质系和物理系

地质学和物理学部分

第 10 期

地 球 物 理 问 题

A.П. 克拉耶夫等著

张昌达 董国柱等譯

中 国 工 业 出 版 社

本书收集的論文內容涉及各种物探方法。在电法勘探方面，研究了均匀和非均匀介质中直流电場、交流电場和自然电場的測量結果；在磁法勘探和重力勘探方面，論述了負磁异常的性质，列举出按磁場区分火成岩的实例，討論了観測資料的整理方法和解釋；有一篇文章專門談到地震波的衰減；最后一篇文章叙述了水化学探矿法的应用成果。

本书由張昌达、許炳如、董国柱、朱云祥、高莉青等同志譯出，最后經周鑑庭同志校閱。

УЧЕНЫЕ ЗАПИСКИ
ЛЕНИНГРАДСКОГО ОРДЕНА ЛЕНИНА ГОСУДАРСТВЕННОГО
УНИВЕРСИТЕТА имени А. А. ЖДАНОВА

№ 249

(Геологический и Физический Факультеты)
СЕРИЯ ФИЗИЧЕСКИХ И ГЕОЛОГИЧЕСКИХ НАУК
Выпуск 10

ВОПРОСЫ ГЕОФИЗИКИ
ИЗДАТЕЛЬСТВО ЛЕНИНГРАДСКОГО УНИВЕРСИТЕТА 1958

* * *

地 球 物 理 问 题

張昌达 董国柱等譯

*

地质部地质书刊編輯部編輯(北京西四羊市大街地质部院內)

中国工业出版社出版(北京佐麟閣路丙10号)

(北京市书刊出版事业許可證出字第110号)

中国工业出版社第四印刷厂印刷

新华书店北京发行所发行·各地新华书店經售

*

开本850×1168¹/₃₂·印张9⁷/₁₆·插頁1·字数244,000

1963年10月北京第一版·1963年10月北京第一次印刷

印数0001—1,330·定价(10-7)1.60元

*

统一书号：15165·2579(地质-253)

目 录

- 河流偶极測深的应用經驗 [A. П. 克拉耶夫] (1)
諧變低頻垂直磁偶极子的正常場 Л. Б. 加薩年柯 (10)
水平層狀構造上垂直諧變磁偶极子電磁場
各要素間的關係問題 Л. Б. 加薩年柯 (34)
水平層狀構造上部水平磁偶极子的電磁場
..... Л. Б. 加薩年柯 Г. В. 莫洛契諾夫 (43)
非均勻介質中電磁場的實驗研究 Г. В. 莫洛契諾夫 (62)
電法勘探中測量低頻交變電場的儀器 Ю. И. 布爾加科夫 (71)
垂直磁偶极子電磁場中的導體
..... Г. В. 莫洛契諾夫 В. Т. 巴洛巴耶夫 (80)
各向異性半空間中點電源的場
..... A. С. 謝苗諾夫 А. В. 維謝夫 А. Ф. 佛金 (90)
聯合剖面法與平移電極剖面法的比較 Ян格隆托拉德 (115)
均勻介質和非均勻介質中極化導體的電場
..... Янг隆托拉德 (135)
自然電場法中的表土影響 Г. А. 塔拉索夫 (158)
岩石的負磁性 В. В. 梅塔洛娃 (170)
安加拉依利姆地區礦石的磁化性質和負磁
異常的成因 А. А. 斯梅洛夫 (196)
東外貝加爾地區的構造地質分析資料和
航空磁測結果對比的經驗 Н. Ф. 辛卡列夫 (231)
用磁勢的高階導數來確定磁化體產狀要素的
量板 Л. П. 若戈列夫 (237)
關於供重力勘探用的努米羅夫公式的應用
問題 О. М. 拉斯波波夫 (243)
估計到異常垂直梯度的重力值的校正方法
..... О. М. 拉斯波波夫 (248)
地震波衰減現象的應用經驗 Н. В. 山金 (263)
礦物的電極電位及其在硫化礦石溶解中的
作用 Г. Б. 斯維什尼科夫 (280)

河流偶极測深的应用經驗*

A. П. 克拉耶夫

由Л. М. 阿尔平首次提出并应用的偶极測深法^[1]，具有一定
的特点，它与广泛应用的对称装置測深法有本质的区别。通过以
前的工作^[4、5]，我們获得了应用此法来研究深部的經驗。本文
是对1947年在沃耳霍夫河上，在我們領導下进行的工作方法和結
果作一簡短叙述。除作者外，参加野外工作的还有 С. Я. 列奧根
基、Г. М. 麦拉穆德、Н. Е. 伏爾夫松和Т. Д. 格拉德基。

資料的室內整理和解释是由作者和 А. С. 謝苗諾夫共同完成
的。

* * *

偶极測深象通常的測深一样，觀測結果得到的是有效电阻率
与电极距的关系曲綫。有效电阻率 ρ_d 的数值可按下面大家都熟悉
的公式求出：

$$\bar{\rho}_d = k_d \frac{\Delta u}{i} \quad (1)$$

式中 Δu 和 i ——接收和供电綫路中測出的电位差和电流强度；
 k_d ——按下面已知公式計算出的系数：

$$k_d = \frac{2\pi}{\frac{1}{AN} - \frac{1}{AM} - \frac{1}{BM} + \frac{1}{BN}}, \quad (2)$$

AM, AN, BM, BN ——相应电极間的距离（图 1）。

在供电和接收綫路相互排列的特殊情况下，(2) 式可相应
簡化^[2]。

* 这篇文章是A.П.克拉耶夫在1949年写成的，虽然現在离他写作的时间
已經很久，但在方法上或地质意义上，仍有它的价值，这是本文在論
文集中发表的理由（原編者注）。

在偶极測深中，裝置（電極距）的大小是用供電電極和接收電極中心之間的距離來表示的。用偶極和對稱裝置測出的有效電阻率之間具有一定的關係^[2]。就解釋我們得到的曲綫而言，下列情況具有重要的意義，即測深曲綫末端的漸近綫與對數量板軸的方向成45°。漸近綫上的 $\bar{\rho}_d$ 值具有如下的比例關係：

$$\bar{\rho}_d = \frac{\bar{\rho}}{2}, \quad (3)$$

式中 $\bar{\rho}$ —— 相應於半電極距為 $\frac{AB}{2}$ 的對稱裝置的有效電阻率，半電極距與電阻率為 $\bar{\rho}_d$ 的偶極裝置的電極距(00')相等。由(3)式可知，偶極測深曲綫的漸近綫較通常測深B33曲綫的漸近綫沿電極距軸向下移動 $\frac{AB}{2}$ 。偶極測深得出的縱向電導 S 的值相應地比通常測深的大一倍。上述規律將在下面解釋河流偶極測深的觀測曲綫時應用。河流偶極測深是以不動的接收電極和移動的供電裝置進行觀測的：200個容量為240安培小時與放電電流為120安培的酸性蓄電池用作電源。供電線用截面積為700平方毫米的海洋銅電纜。測量儀器使用ЭП-1電位計。接收線用PCM導線。

每進行一次測深，在岸上布置長各為100、300與1000米的幾條接收線，在水中用銅銷釘接地。就在這裡布置電位計和無線電台。在船上裝着供電裝置，即蓄電池組和一段長500米的電纜，利用長的裸銅線接地（圖1）。電纜上每隔50米挂一浮標。拖着電纜的船從接收裝置出發逆流向上移動，經過一定的間距停住。在每次船只停泊的時間內，用無線電和接收站聯繫然後進行觀測。第一次觀測在船離接收極中心500米處進行。在接通短的接收迴路後，根據操作員的信號使供電線路逐一閉合，此時觀測接收線路的電位差和供電線路的電流強度。然後船移動到下一點再觀測。距供電裝置遠時，短的接收迴路用較長的迴路代替。

在以後的工作中，偶極測深以在岸上用最小的電極距開始工作為宜，而浮動的供電裝置則使用不同長度的電線供電。

供电电极和接收电极間的距离按航运图測量或沿河岸直接測量（电极距在1000米以內时）。在电极距相当大时，则可根据音的传播速度测定距离。为此，必須設計出一种時間指示图，用它定出信号通过无线電和經過空气到达的时间。

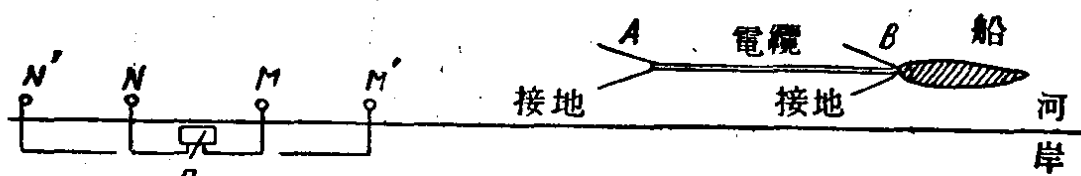


图 1 河流偶极測深装置略图

在我們的工作中，供电裝置的方向是按照河岸綫確定的，并保証其精度达 $5-10^{\circ}$ 。下一步工作應該是注意正确定供电綫的长度（因電纜可能下垂）并保持不变。否則在不利的条件下，由于上述原因，在有效电阻率数值的測量中，可能会产生相当大的誤差。工作是沿整个沃耳霍夫河进行的，开始于拉多加湖，終于伊爾明湖（图 2）。

总共作了电极距 OO' 达4—7公里的偶极測深12点。除了最后一个点以外，每一点还附带作了电极距达640米的普通測深，它是从接收电极的中心开始的。图3中举出了最初两点的測深曲綫（偶极測深曲綫用虛綫表示，而普通測深曲綫用实綫表示）。

普通測深曲綫反映了古生代剖面上部层位的特性，它們在这里是奥陶紀① 和泥盆紀地层。偶极測深的曲綫下支受前寒武紀結晶岩石的影响。因为在所有偶极測深曲綫上，曲綫的下支都或多或少地受到前寒武岩石的影响，因此根据这点測定剖面的平均縱向电导 S （ S 值从横坐标等于0.5处截取，而不是普通測深时的1——參看（3）式）是可能的。

为了利用 S 值来估計結晶岩的深度，研究了古生代岩石电阻率依其埋藏深度而变化的規律。为此，利用了分布在离測深剖面不同远近的五个深井区内（卡尔多希、楚多沃、包尔霍夫、旧

① 在图2上根据过去的地层划分，表示为下志留紀的。

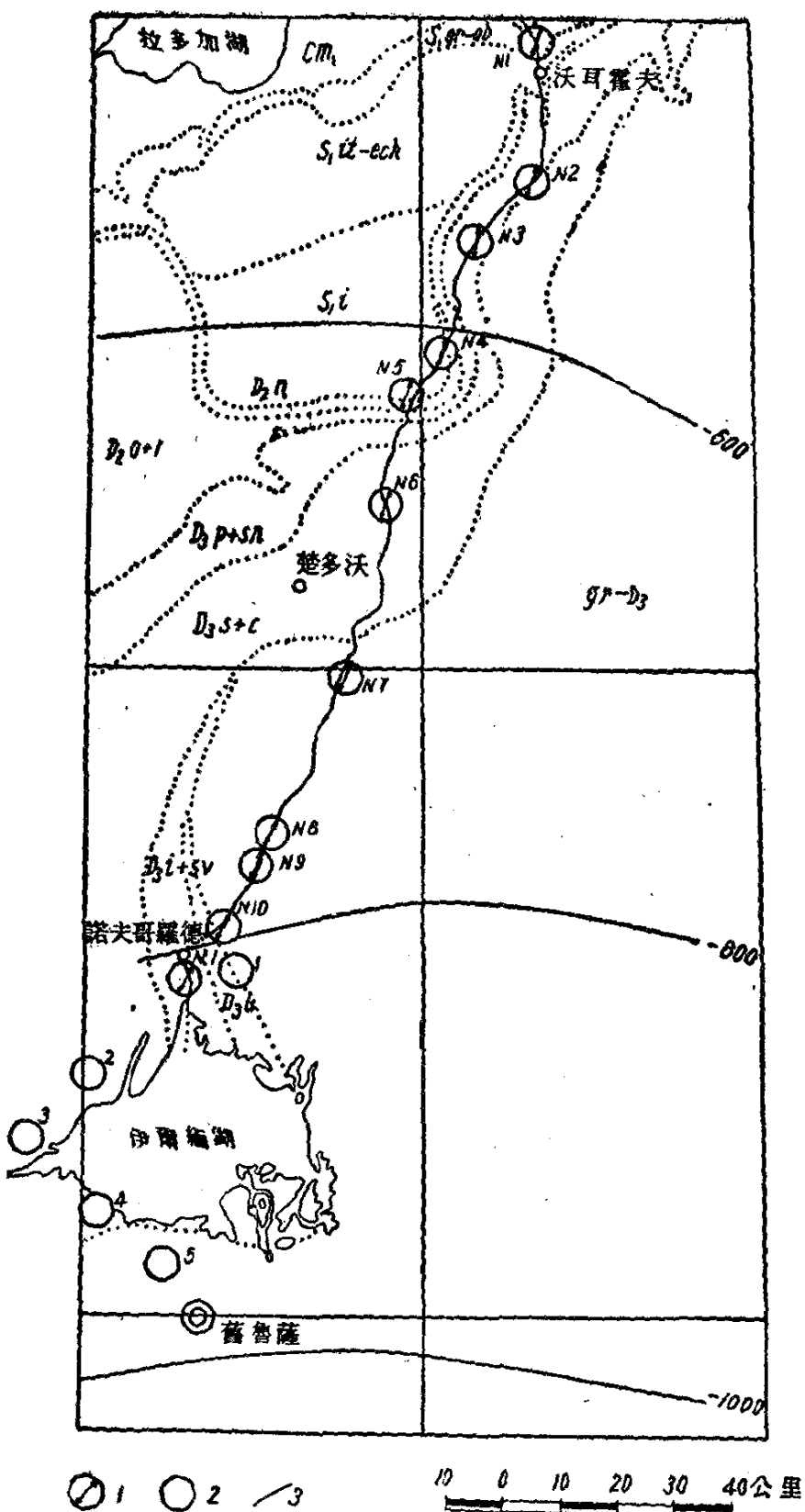


图 2 B33 测点分布图

1—偶极测深; 2—普通测深;
3—结晶岩石的地形等高线 (按照旧有的资料)

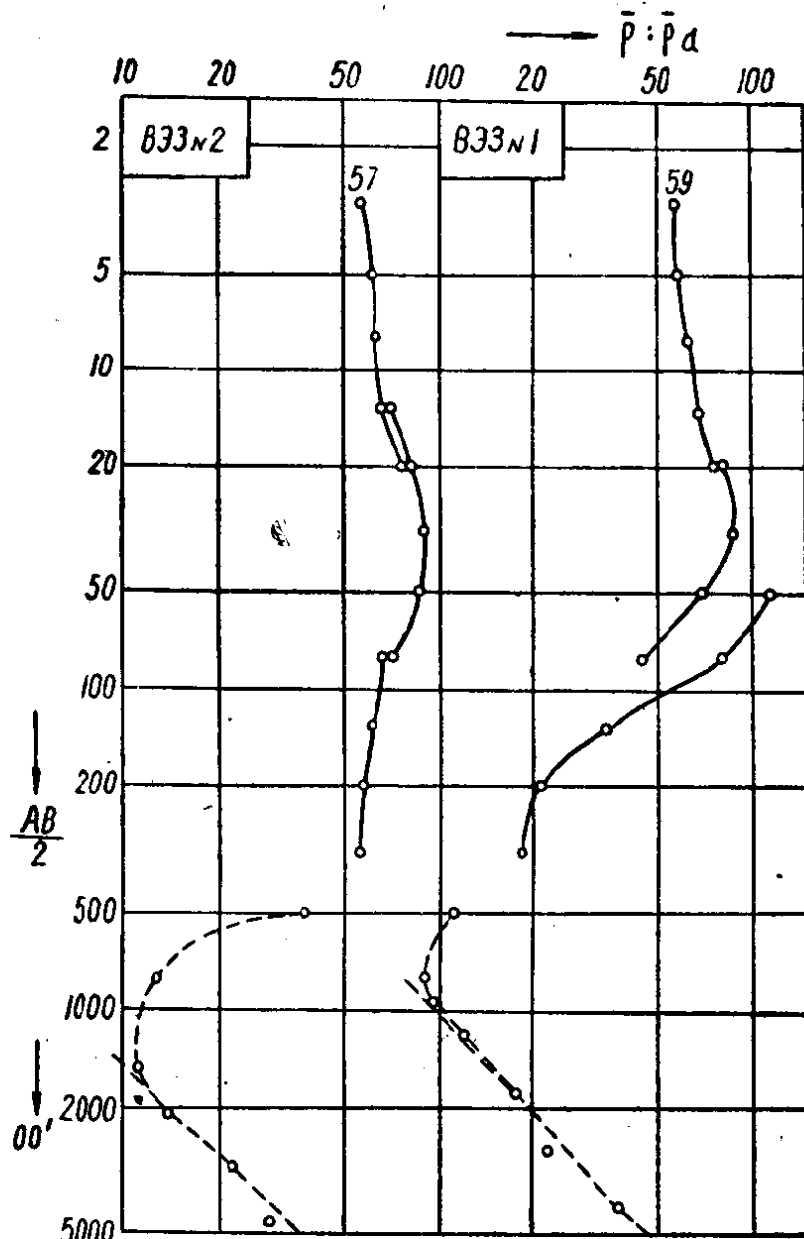


图 3 有代表性的B33曲綫

魯薩、瓦尔代) 的測井曲綫和測深曲綫图。根据測井曲綫可以确定某些一般的規律和电阻率的数量級。首先，寒武紀、奥陶紀和部分泥盆紀岩石的埋藏深度增大时，其电阻率显出减小的趋势。寒武紀岩石的电阻率在20到2 欧姆米的范围内变动，奥陶紀岩石是从200—500变到10—12欧姆米或更小。泥盆紀地层的电阻率的变化范围很大，但随深度的增大，趋向于减小。

根据井旁測深曲綫图，并考慮到測井的資料，得出寒武紀岩石电阻率与它的埋藏深度的概略关系(图4)。电阻率随深度的

减小，与温度的增加仅有部分关系，但基本上是决定于水的矿化变化，也可能与岩石的水饱和度随深度的变化有关。根据计算的结果，温度的影响不超过30%（计算时采用在瓦尔代探井内观测到的资料，在深度1100米时温度为+19°C）。

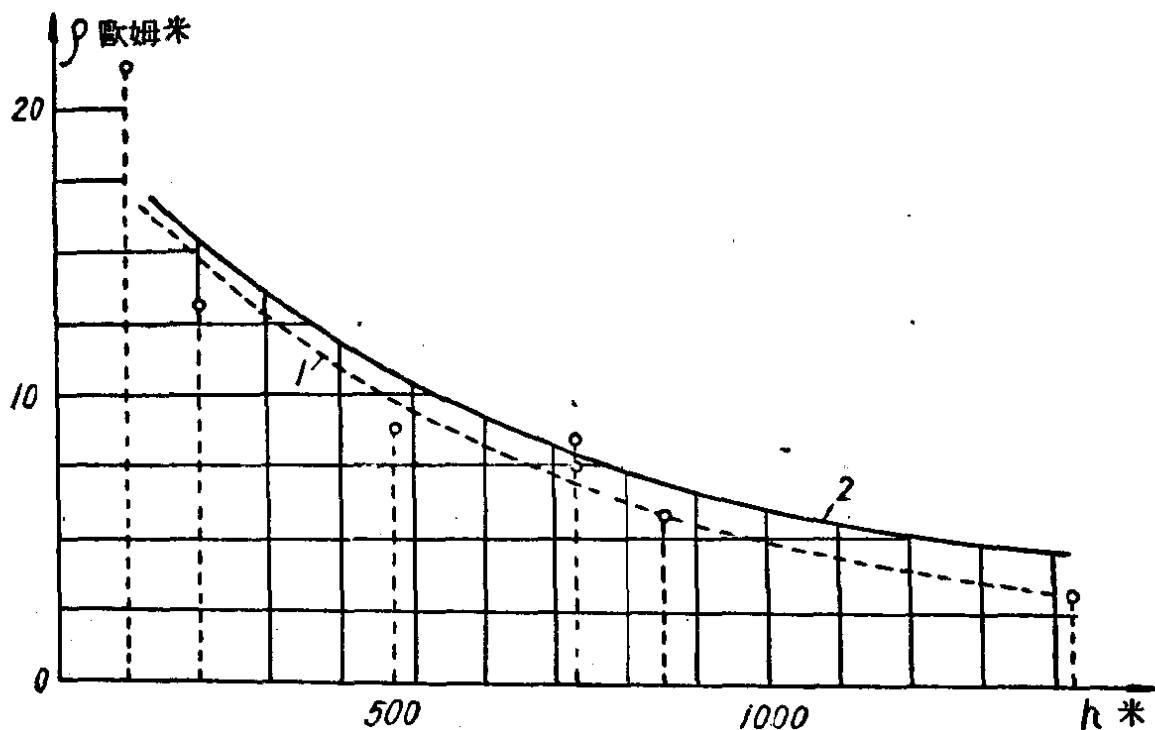


图 4 寒武紀岩石电阻率与它的埋藏深度关系曲綫

1—根据实际数据平均的曲綫；2—換算到恒定溫度的曲綫

志留紀岩石的电阻率随深度的变化更为强烈。此外，还观测到奥陶紀和泥盆紀岩石的电阻率有着局部性的剧烈变化，这点可以由偶极测深剖面南部所作的普通测深曲綫图上看到。

研究了井旁测深曲綫图之后，可以确定出：在某些情况下奥陶紀和下泥盆紀岩石与寒武系合併为一个导电层，在另一些情况下它们却与寒武系截然不同，表现为高电阻层。这样就给曲綫的解释造成了困难，即使我们所确定出的寒武紀电阻率变化的规律与实际情况十分接近，困难同样存在。考虑每个单独层位的电阻率是不可能的，因此我们只能在应用沉积层平均縱向电导的基础上作出粗略近似的解释。根据井旁测深曲綫图和测井资料，我们作出这个参数与前寒武紀岩石的深度間的关系曲綫（图5）。

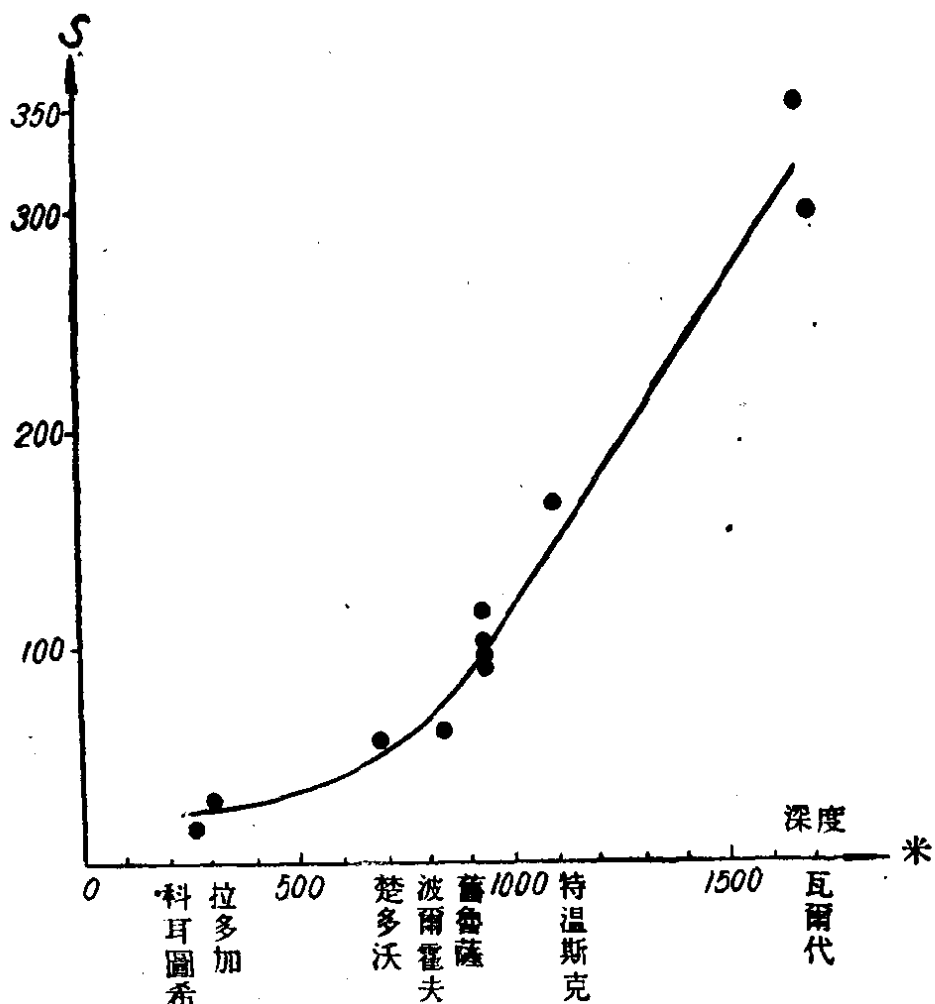


图 5 古生代沉积岩层的縱向电导 S 与
结晶岩的深度关系曲綫

根据测深剖面确定了结晶基底的深度，工作中以图 5 的曲綫作为标准。整理的結果和曲綫的解释見图 6，它是一张 S 曲綫（在上面）和结晶基底深度的剖面图。

剖面的南部是根据謝苗諾夫領導下所作的普通 B33 曲綫图繪制而成的，它已与旧魯薩的深井相連測。

虽然测深点不多，解释很粗略，基本資料是利用新的、尚不够完善的方法得出的，但是所得到的結果还是具有一定 地质意义的。

首先，在 5 号与 6 号测点間发现了幅度約 300 米的前寒武紀台阶式的傾伏。在剖面地区內，前寒武紀的等高綫不是象以前推想的呈东西綫方向，而是接近于南北方向。结晶基底的这种情况

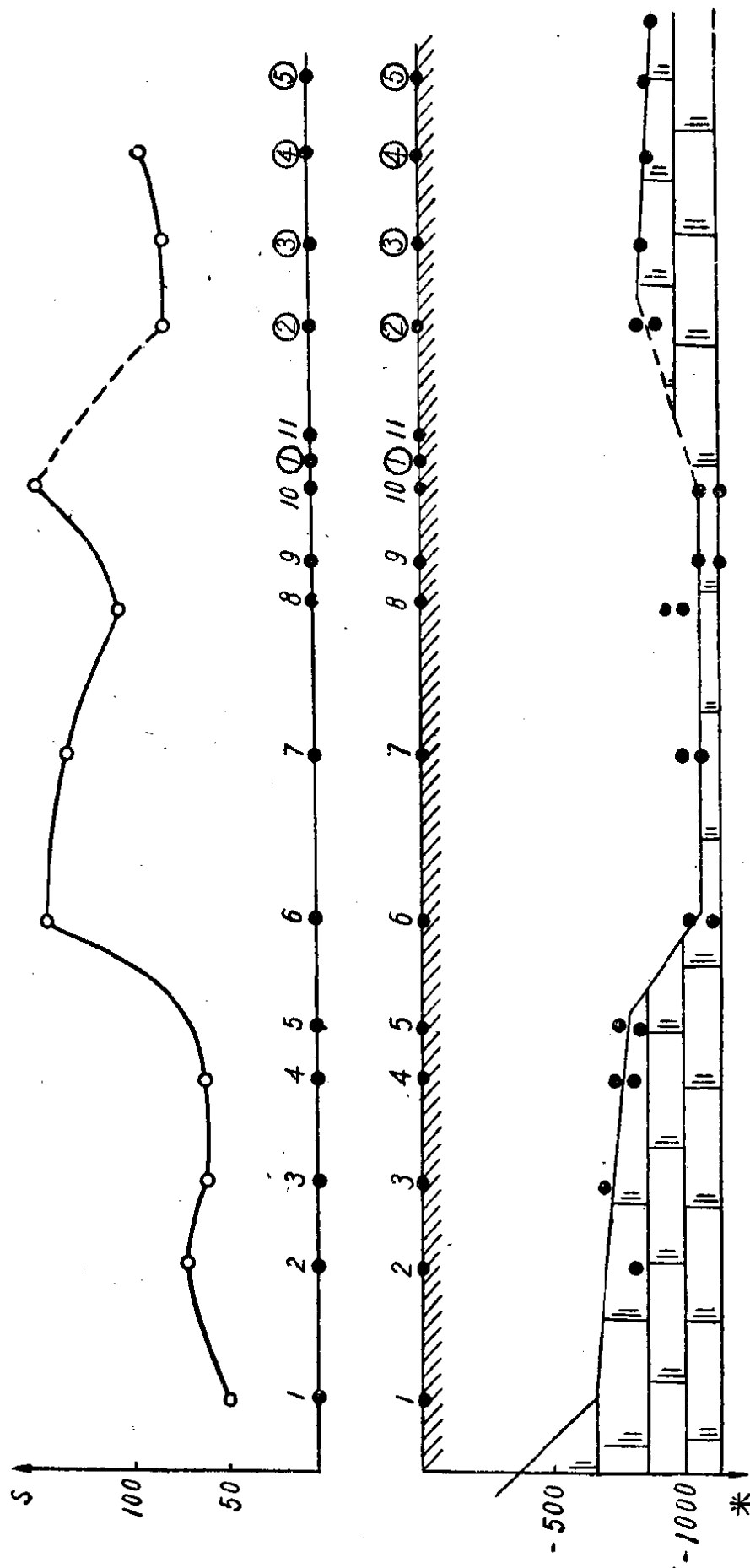


图 6 沿新拉多加——旧鲁萨线的 S 曲线和结晶基底地形剖面
(对称电测深的测点用圈内的数字表示)

与地质图上奥陶紀和泥盆紀岩石分布界綫的形状〔3〕很相符合。由后两种岩石的界綫可以推測結晶基底內斷层的位置。

上泥盆紀岩石反映了已經确定的断层，根据这个情况，可以認為断层运动发生在泥盆紀以后的时期。

值得注意的是，所发现的断层綫平行于磁异常，并与反映前寒武紀成分和构造的重力場符合。因此說，在已經确定的断层和前寒武紀主要构造綫方向之間有着一定的联系。在所获得的地质結果的基础上，使我們能够提出在俄罗斯陆台，特别是在所工作的地区，为了构造地质研究而如何开展物探工作的問題。

前述例子指出了广泛应用偶极測深法并利用水系来研究构造的可能性。此类工作在难于通行的地区有着重大的意义〔6〕。我們以前进行的超測深工作，使我們有可能提出研究結晶基底和整个地壳深层的方法。

为了推广应用这一方法，必須进一步改进和完善觀測技术和方法的理論。特别是对偶极測深而言，必須改进测定距离的方法，并制出高精度的示波仪与功率大的发电站。还必須把普通測深用的量板換算成偶极測深的量板，并完成水平不均匀影响的各种計算。

参考文献

1. Л. М. Альпин. Дипольное электрическое зондирование. Разв. недр № 1, 1938.
2. Л. М. Альпин. Теория дипольных зондирований. Гостоптехиздат, 1950.
3. Б. П. Асаткин, В. А. Котлуков. Геологическая карта СССР масштаба 1:1000000, лист 0—36. Госгеолиздат, 1941.
4. А. П. Краев, В. Н. Зацепин, Н. Б. Яновская. Сверхглубокое зондирование в морских условиях. Вестник ЛГУ, 1947.
5. А. П. Краев, А. С. Семенов, А. Г. Тархов. Сверхглубокое электроздондирование. Разв. недр. № 3, 1947.
6. А. Г. Тархов. Опыт применения геофизических методов к разведке геологических структур Европейского севера СССР. Материалы ВСЕГЕИ, геофизика сб. 11. Госгеолиздат, 1947.

許炳如譯

諧變低頻垂直磁偶极子的正常場

Л.Б. 加薩年柯

一、緒 言

对交流电法勘探而言，在均匀岩体表面的場——正常場是有很大意义的。由水平电偶极子和无限长直綫电纜所产生的正常場已經很詳細地研究过了[1,4,5,6]。

表示垂直和水平磁偶极子的正常場分量的公式在 1931 年早已得出[2]，但是仅部分地进行了数量方面的研究，針對几种不同距离（参数 p ），計算了各个磁場分量的数值。例如在 И.Г. 米哈依洛夫的論文[3]內，除了一些其它的表格外，还給出了与垂直磁偶极子的磁場垂直分量成比例关系的数值表。在戈爾頓的論文[7] 内計算了参数 p 由 0.2 到 2.0 的 7 个 不同数值的 磁 场 垂 直 分 量 和 径 向 分 量 的 数 值。在約斯特的文章[8] 和捷謝尔的文章[9] 内，列出了表示垂直磁偶极子正常場垂直分量的振幅、相位和参数 p 的关系曲綫。

但是，迄今还没有发表过导电率为有限值的均匀半空間上垂直磁偶极子电磁場分量的足够完整的数据表；也沒有确定出表示場分量与距离关系曲綫上的特征点。因此，把到 1954 年为止所进行的数量分析結果加以闡明是完全必要的[10]。

二、場分量的表达式

若在均匀半空間的表面 ($z=0$) 上置一諧變垂直磁偶极子，其磁矩为：

$$\vec{M} = \vec{M}_0 e^{i\omega t}$$

則由它造成的电磁場具有矢量势 $\vec{\Pi}$ ，此矢量势仅有垂直分量，且

等于

$$\vec{\Pi}_0 = 2M \int_0^\infty J_0(n\rho) e^{-n_0 z} \frac{ndn}{n_0 + n_1} \quad (\text{在空中, 即 } z \geq 0 \text{ 时})$$

$$\vec{\Pi}_1 = 2M \int_0^\infty J_0(n\rho) e^{n_1 z} \frac{ndn}{n_0 + n_1} \quad (\text{在地下, 即 } z \leq 0 \text{ 时})$$

式中

$$n_k = \sqrt{n^2 + x_k^2}; \quad x_k = \frac{4\pi}{c} \sqrt{i \frac{\mu_k f}{2} \left(\sigma_k + i \frac{\epsilon_k f}{2} \right)}$$

f —— 频率; $c = 3 \times 10^{10}$ 厘米/秒; $i = \sqrt{-1}$; μ_k —— 导磁率; σ_k —— 导电率; ϵ_k —— 第 k 号介质的介电常数; 脚码 0 代表空中的; 脚码 1 代表地下的; ρ 、 φ 、 z —— 观测点的圆柱座标; 偶极子位于座标原点; z 轴垂直向上。

电场和磁场的矢量各为:

$$\vec{E} = -\frac{2\pi}{c} \mu f i \cdot \text{rot} \vec{\Pi}, \quad \vec{H} = \text{grad div} \vec{\Pi} - x^2 \vec{\Pi}$$

其各分量则为:

$$E_\rho = E_z = 0; \quad E_\varphi = \frac{2\pi \mu f i}{c} \frac{\partial \Pi}{\partial \rho};$$

$$H_\varphi = 0; \quad H_\rho = \frac{\partial}{\partial \rho} \frac{\partial \Pi}{\partial z}; \quad H_z = \frac{\partial^2 \Pi}{\partial z^2} - x^2 \Pi = -\frac{1}{\rho} \frac{\partial}{\partial \rho} \left(\rho \frac{\partial \Pi}{\partial \rho} \right).$$

这些分量在空中及地下各为:

$$E_{\varphi_0} = -\frac{2\pi \mu f}{c} i 2M \int_0^\infty J_1(n\rho) e^{-n_0 z} \frac{n^2 dn}{n_0 + n_1};$$

$$H_{\rho_0} = \frac{2M}{\rho} \frac{\partial}{\partial \rho} \rho \int_0^\infty J_1(n\rho) e^{-n_0 z} \frac{n^2 dn}{n_0 + n_1};$$

$$H_{\rho_0} = 2M \int_0^\infty J_1(n\rho) e^{-n_0 z} \frac{n_0 n^2 dn}{n_0 + n_1};$$

$$E_{\varphi_1} = -\frac{2\pi \mu f}{c} i 2M \int_0^\infty J_1(n\rho) e^{n_1 z} \frac{n^2 dn}{n_0 + n_1};$$

$$H_{z_1} = \frac{2M}{\rho} \frac{\partial}{\partial \rho} \rho \int_0^{\infty} J_1(n\rho) e^{n_1 z} \frac{n^2 dn}{n_0 + n_1};$$

$$H_{\rho_1} = -2M \int_0^{\infty} J_1(n\rho) e^{n_1 z} \frac{n_1 n^2 dn}{n_0 + n_1},$$

对于地表 ($z=0$) 的各点，场分量公式可简化，并可用佛科 (Φ_{OK}) 积分^[1]化为已有表可查的函数：

$$\int_0^{\infty} J_0(n\rho) \left(\frac{n_1 - n_0}{n_1 + n_0} \right)^v \frac{ndn}{n_0 n_1} = L_v,$$

式中

$$L_v = I_v \left(\rho \frac{x_1 - x_0}{2} \right) K_v \left(\rho \frac{x_1 + x_0}{2} \right),$$

而函数 I_v 和 K_v 是虚宗量的贝塞尔函数。

通过相应的计算，可得：

$$E_{\varphi} = -\frac{4\pi\mu f}{c} i \frac{M}{\rho^4 (x_1^2 - x_0^2)} \{ e^{-x_0 \rho} (3 + 3x_0 \rho + x_0^2 \rho^2) - e^{-x_1 \rho} (3 + 3x_1 \rho + x_1^2 \rho^2) \}$$

$$H_z = -\frac{2M}{\rho^5 (x_1^2 - x_0^2)} [e^{-x_0 \rho} (9 + 9x_0 \rho + 4x_0^2 \rho^2 + x_0^3 \rho^3) - e^{-x_1 \rho} (9 + 9x_1 \rho + 4x_1^2 \rho^2 + x_1^3 \rho^3)],$$

$$H_{\rho} = M \frac{x_1^2 - x_0^2}{4} \frac{\partial}{\partial \rho} [L_0 - L_1].$$

现在，我们可以转入对低频的，也就是说，当空中和地下的位移电流可忽略时 ($x_0 = 0$; $x_1 = x\sqrt{i}$) 的场的分量表达式进行数量分析。

此外，我们还假设空气和大地的磁导率是一样的，它们都等于 1 ($\mu_0 = \mu_1 = 1$)。

三、电场的切向分量

在低频时，电场的切向分量为：